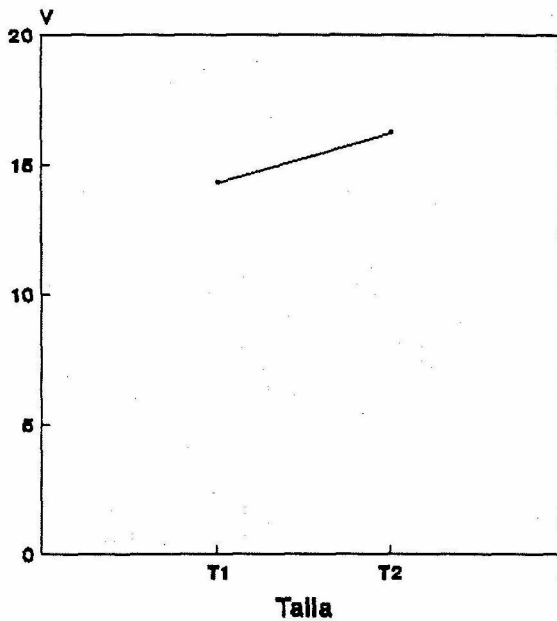
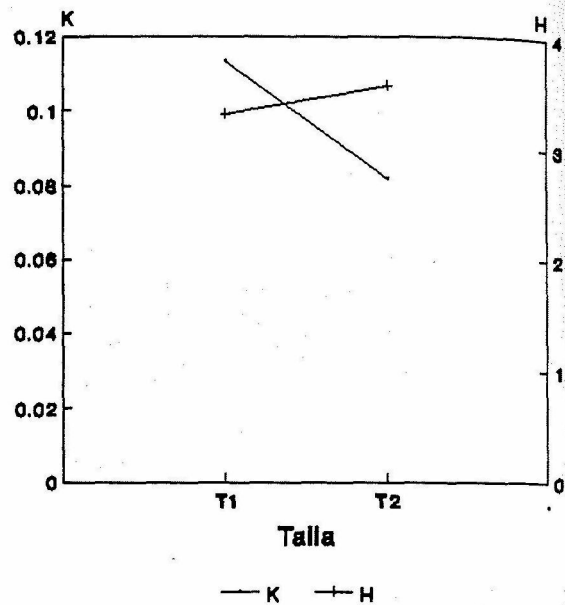


C. guentheri Vacuidad



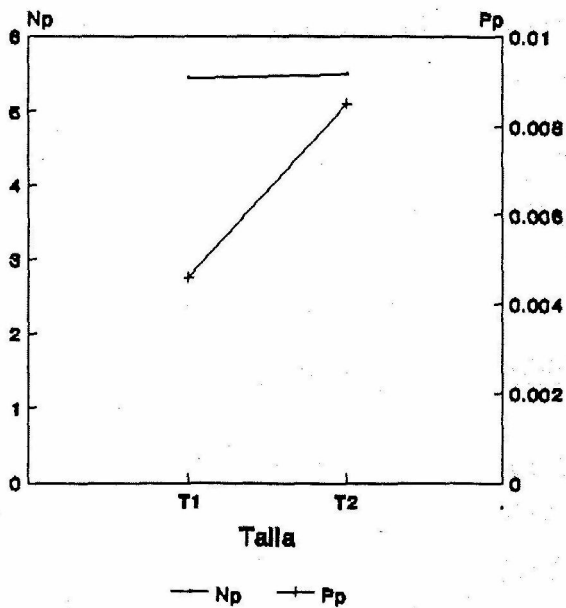
(a)

C. guentheri Int. alimentaria y Diversidad



(b)

C guentheri Np. Pp



(c) Fig 3-61- Variaciones de la dieta de *Coryphaenoides guentheri* por tallas. T1: talla 1, T2: talla 2. (a)- Coeficiente de vacuidad (V). (b)- Intensidad (K) y diversidad (H) alimentarias. (c)- Número medio de presas por estómago (Np) y peso medio de presas por estómago (Pp).

C. guentheri Cat. ecológicas

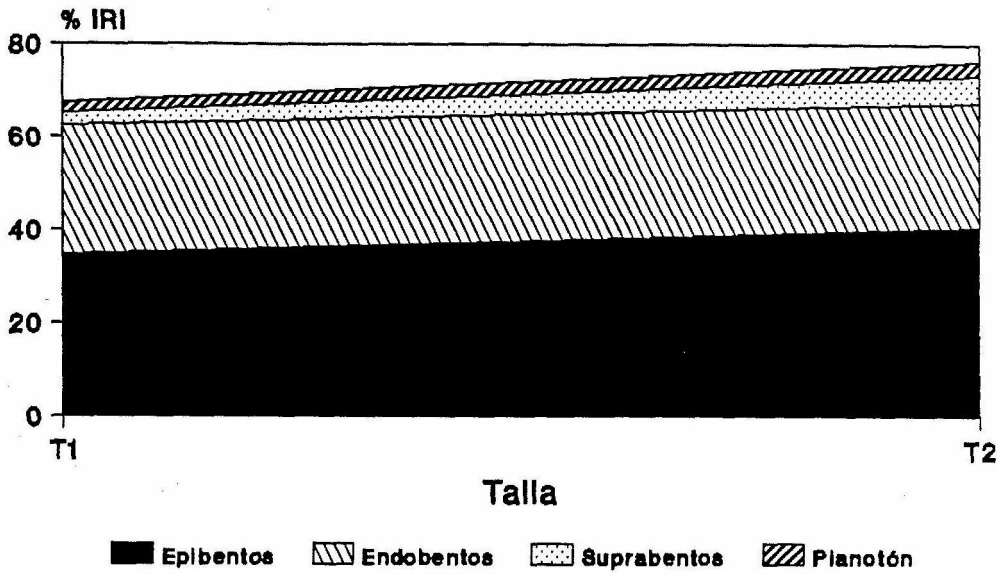


Fig 3-62- Distribución del %IRI de las categorías ecológicas de las presas de *Coryphaenoides guentheri* por tallas. T1: Talla 1, T2: talla 2.

C. guentheri Esp. presa

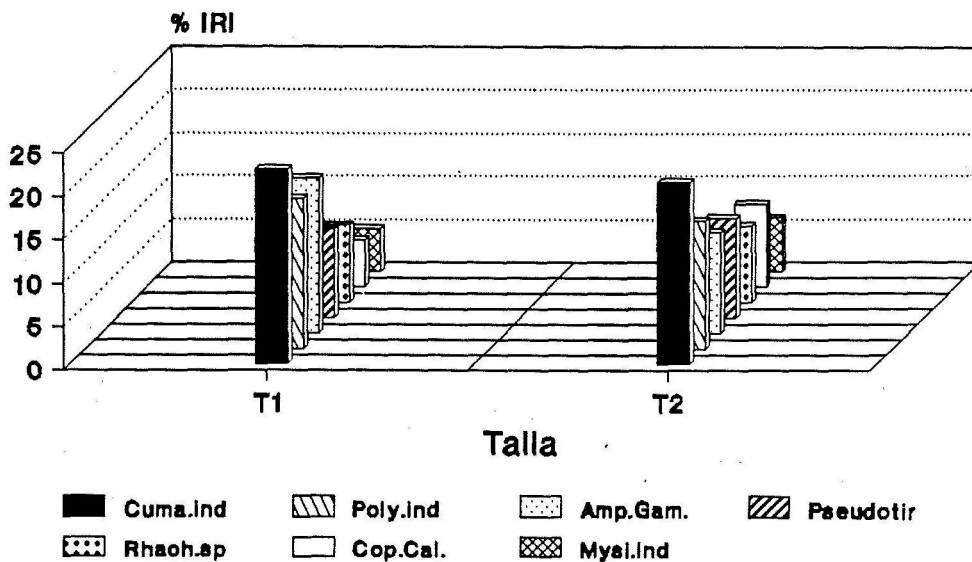


Fig 3-63- Representación gráfica de las variaciones de la dieta en relación al %IRI de las especies-presa o grupos-presa más importantes.

Los individuos quedan repartidos así de forma homogénea (T-test=0.69, gl=492, $p > 0.05$) en cuatro grupos:

- P1T1: 1400-1800 m-Talla 1 (94 ejemplares).
- P1T2: 1400-1800 m-Talla 2 (136 ejemplares).
- P2T1: 1800-2200 m-Talla 1 (116 ejemplares).
- P2T2: 1800-2200 m-Talla 2 (148 ejemplares).

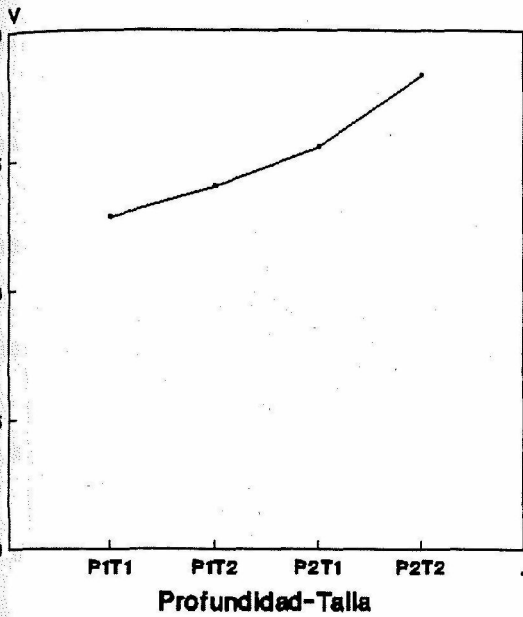
El coeficiente de vacuidad aumenta con la profundidad y la talla (fig 3-64-a) de forma significativa ($X^2=1.63$, gl=3, $p > 0.05$). La diversidad alimentaria prácticamente no varía (fig 3-64-b), observándose una ligera tendencia a aumentar con la talla. El índice de intensidad alimentaria, sin embargo, disminuye significativamente con la talla en las dos profundidades analizadas ($F=3.12$, gl=3.41, $p=0.02$), y esto se mantiene si consideramos los cuatro intervalos de profundidad (fig 3-67-b) ($F=2.14$, gl=7.410, $p=0.04$).

El número medio de presas por estómago (fig 3-64-c) varía no significativamente en los cuatro casos, disminuyendo de P1T1 a P1T2 y aumentando ligeramente de P2T1 a P2T2 ($F=1.48$, gl=3.41, $p > 0.05$). Sin embargo el peso medio de las presas por estómago presenta aumentos significativos con la talla, pero no con la profundidad ($F=6.26$, gl=3.414, $p < 0.01$), siendo estas diferencias entre los pares: P1T1-P1T2, P1T1-P2T2, P1T2-P2T1 y P2T1-P2T2 (Test de Duncan). Si consideramos los cuatro intervalos de profundidad (fig 3-67-c) estas diferencias se mantienen en todos los casos ($F=3.34$, gl=7.410, $p < 0.01$) menos en el par de 1400.1600mT1-1400.1600mT2 en que prácticamente no existen.

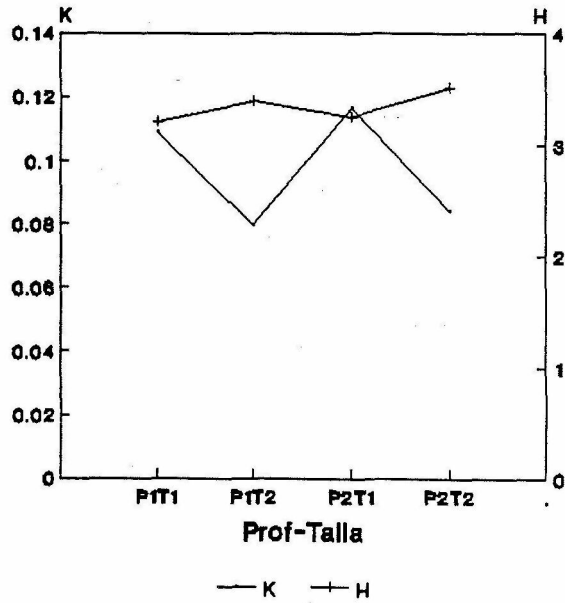
En cuanto a las categorías ecológicas de las presas, los solapamientos más altos (tabla 3-18) los encontramos entre P1T1-P1T2 (0.90) y P1T2-P2T2 (0.88), siendo en todos los casos elevados. Sin embargo, si atendemos a las especies-presa los valores disminuyen, pero aún son más altos para los pares en las mismas profundidades entre las dos tallas (P2T1-P2T2 y P1T1-P1T2), en los demás casos se pueden considerar los valores bajos.

En la figura 3-65 observamos que el epibentos disminuye ligeramente en P2T1 para volver a aumentar en P2T2 (debido primero a la disminución de *Pseudotiron bouvieri* y luego al incremento de *Rhachotropis* sp. (fig 3-66)). El endobentos aumenta tanto con la profundidad como con la talla, debido principalmente a los cumáceos

C. guentheri
Vacuidad



C. guentheri
Int. alimentaria y Diversidad



C. guentheri
Np. Pp

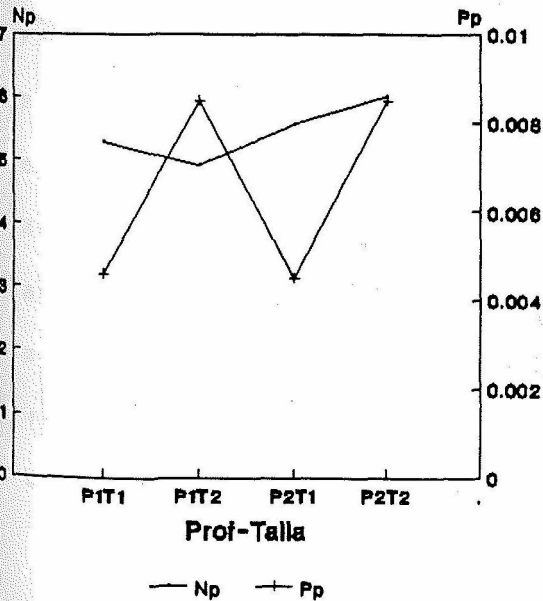


Fig 3-64- Variaciones de la dieta de *Coryphaenoides guentheri* por profundidades y tallas. P1: 1400-1800m, P2: 1800-2200m. T1: talla 1, T2: talla 2. (a)- Coeficiente de vacuidad (V). (b)- Intensidad (K) y diversidad (H) alimentarias. (c)- Número medio de presas por estómago (Np) y peso medio de presas por estómago (Pp).

C. guentheri

Cat. ecológicas

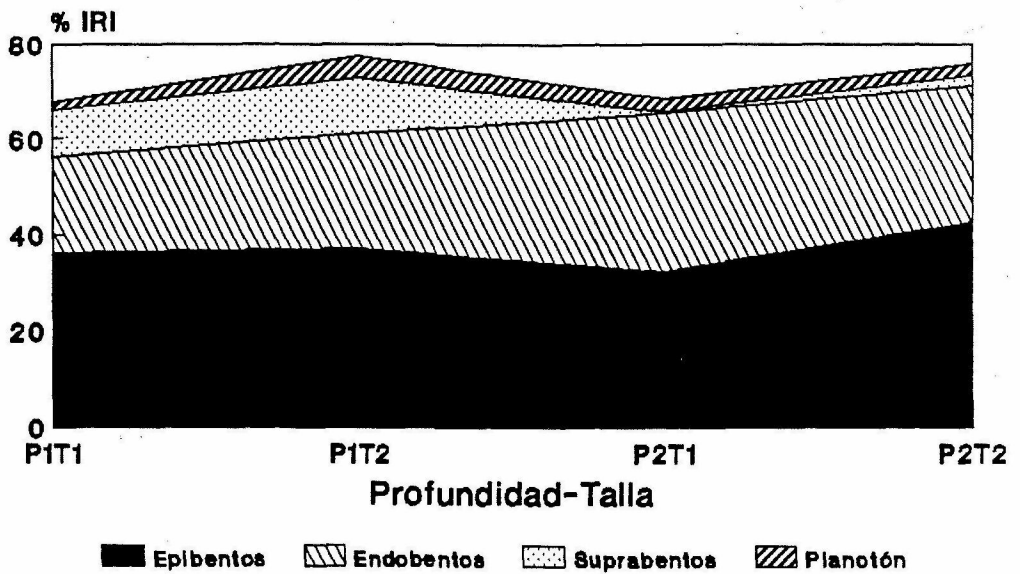


Fig 3-65- Distribución del %IRI de las categorías ecológicas de las presas de *Coryphaenoides guentheri* por profundidades y tallas. P1: 1400-1800m, P2: 1800-2200m. T1: talla 1, T2: talla 2.

C. guentheri

Esp. presa

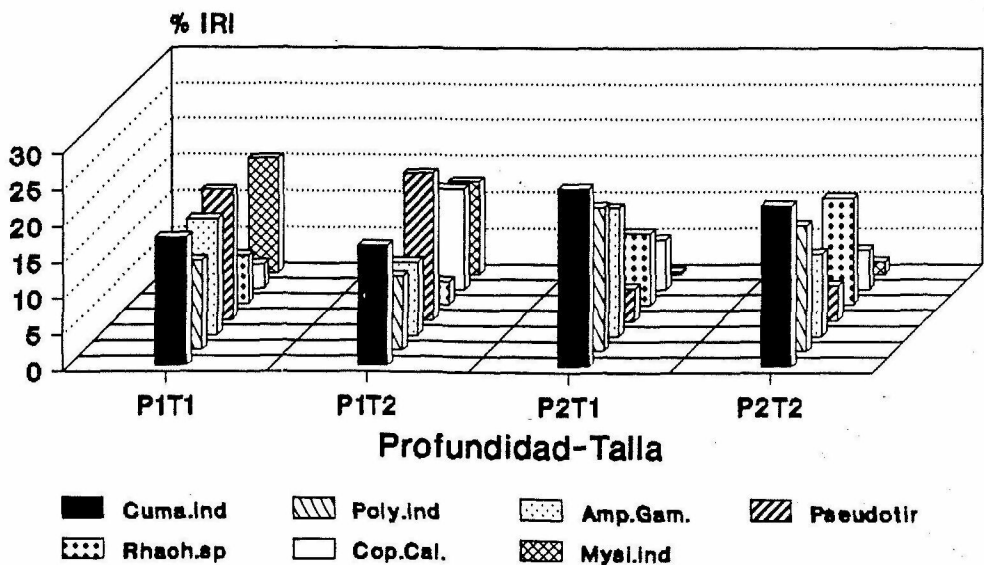
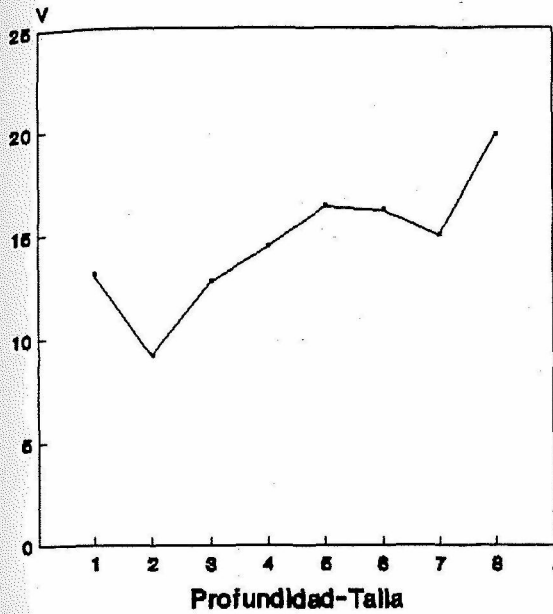


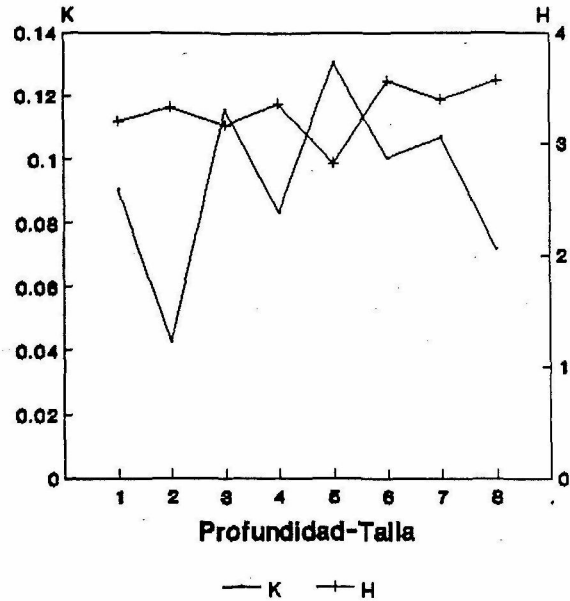
Fig 3-66- Representación gráfica de las variaciones de la dieta en relación al %IRI de las especies-presa o grupos-presa más importantes.

C. guentheri Vacuidad



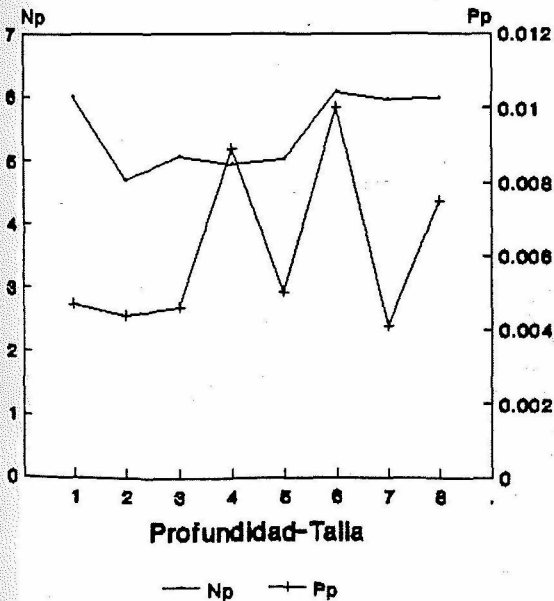
(a)

C. guentheri Int. alimentaria y Diversidad



(b)

C. guentheri Np. Pp



(c)

Fig 3-67- Variaciones de la dieta de *C. guentheri* por profundidades y tallas. 1:1400-1600m T1, 2: 1400-1600 T2, 3: 1600-1800 T1, 4: 1600-1800m T2, 5: 1800-2000m T1, 6: 1800-2000m T2, 7: 2000-2200m T1, 8: 2000-2200m T2. (a)- Coef. vacuidad (V). (b)- Intensidad (K) y diversidad (H) alimentarias. (c)- Número (Np) y peso medio de presas por estómago (Pp).

C. guentheri

Cat. ecológicas

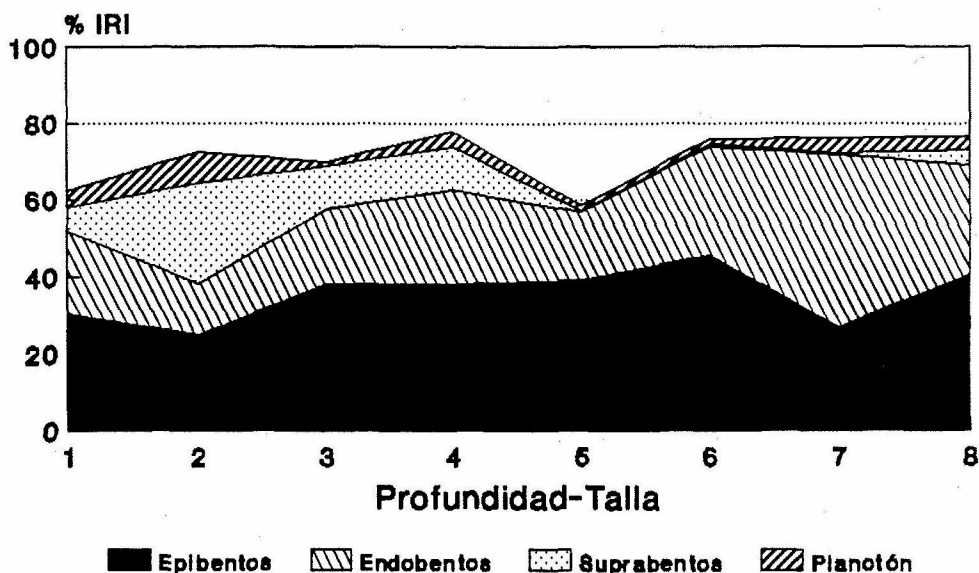


Fig 3-68- Distribución del %IRI de cat. ecológicas de las presas de *C. guentheri* por profundidades y tallas. 1:1400-1600m T1, 2: 1400-1600 T2, 3: 1600-1800m T1, 4: 1600-1800m T2, 5: 1800-2000m T1, 6: 1800-2000m T2, 7: 2000-2200m T1, 8: 2000-2200m T2.

C. guentheri

%IRI presas

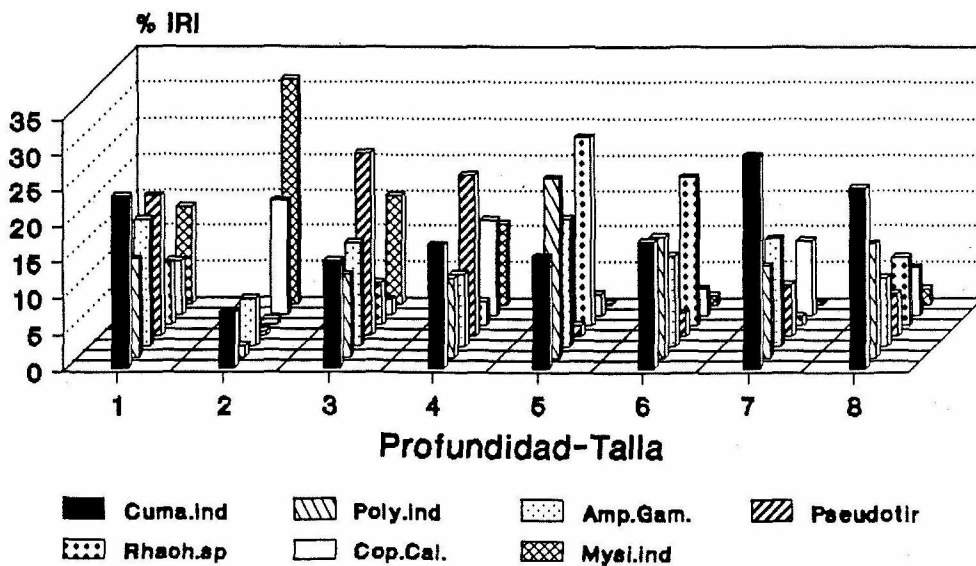


Fig 3-69- Representación gráfica de las variaciones de la dieta en relación al %IRI de las especies-presa o grupos-presa más importantes.

que adquieren más importancia con la profundidad, y el suprabentos presenta su importancia a 1400-1800 m por los misidáceos. Estas diferencias en cuanto a categorías ecológicas son significativas ($X^2=20.56$, $gl=6$, $p<0.01$), pero dejan de serlo en el caso de considerar solamente bentos y plancton en que $p>0.05$. Lo mismo ocurre en el caso de considerar los cuatro intervalos de profundidad (fig 3-68). Si consideramos las especies-presa también las diferencias son significativas para una $p<0.01$ (fig 3-66 y 3-69).

Tabla 3-18.- *Coryphaenoides guentheri*. Índice de solapamiento de Schoener entre las distintas profundidades (P1= 1400-1800 m, P2= 1800-2200 m) y tallas (T1= talla 1, T2= talla 2). Encima de la diagonal figura el solapamiento entre especie-presa, y debajo de la diagonal el solapamiento entre categorías ecológicas.

	P1T1	P1T2	P2T1	P2T2
P1T1	-	0.80	0.68	0.64
P1T2	0.90	-	0.58	0.60
P2T1	0.86	0.82	-	0.82
P2T2	0.84	0.88	0.88	-

e) Variación estacional de la dieta.

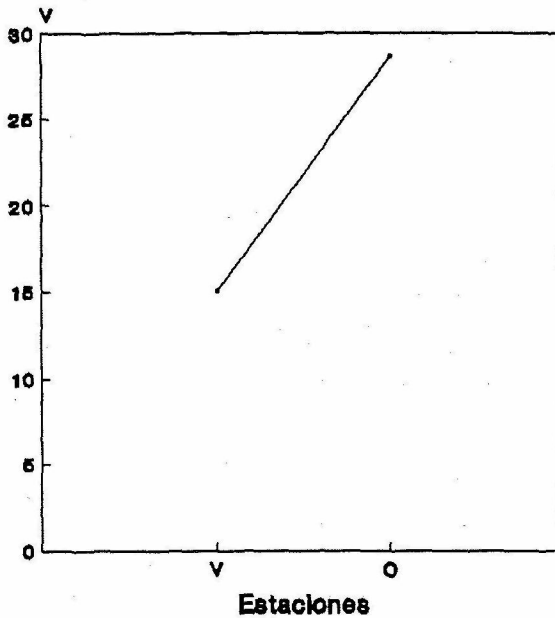
La mayoría de los ejemplares han sido recogidos en verano (480 frente a 14 en otoño), pero a pesar de estas diferencias en cuanto a número de ejemplares analizados, se ha realizado la comparación de la dieta para dar una idea general de la misma en estas dos épocas, teniendo siempre presente que estos resultados son meramente orientativos y que deberán ser comprobados posteriormente con un mayor número de ejemplares.

El coeficiente de vacuidad (fig 3-70-a) aumenta en otoño de forma no significativa ($X^2= 1,92$, $gl= 1,2$, $p>0,05$).

La diversidad alimentaria (fig 3-70-b) aumenta ligeramente en otoño, y el índice de intensidad alimentaria disminuye no significativamente en esa estación ($T= 0,45$, $gl= 416$, $p>0,05$).

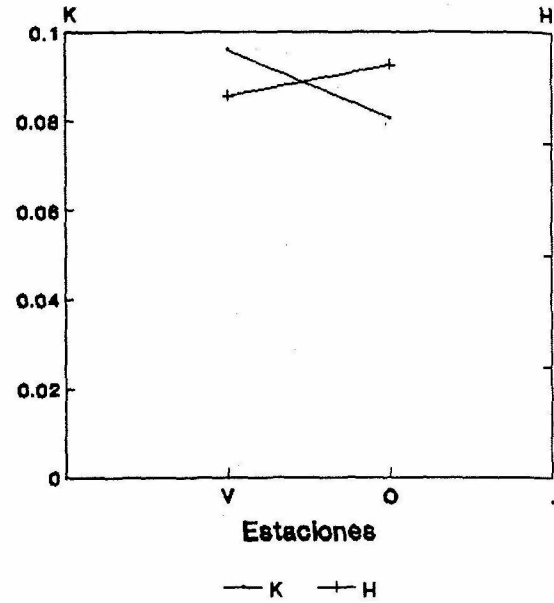
El número medio de presas (fig 3-70-c) disminuye en otoño, mientras que el peso medio de las presas aumenta, pero en ningún caso es significativo ($p>0,05$).

C. guentheri Vacuidad



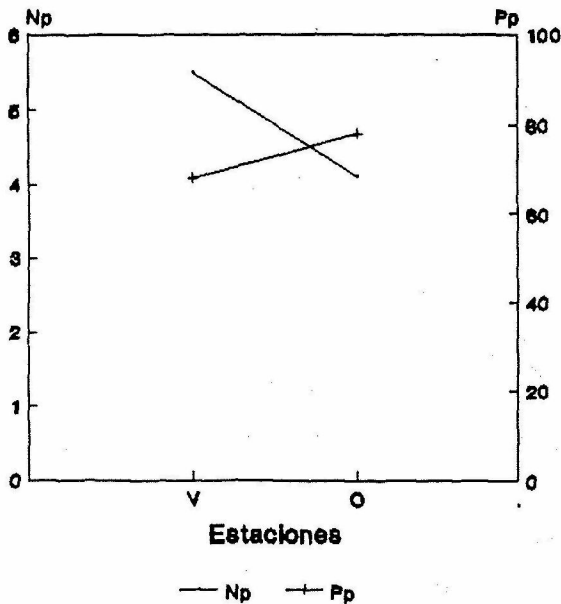
(a)

C. guentheri Int. alimentaria y Diversidad



(b)

C. guentheri Np. Ppsas y P. presas



(c)

Fig 3-70- Variaciones de la dieta de *Coryphaenoides guentheri* por estaciones. V: verano, O: otoño. (a)-Coeficiente de vacuidad (V). (b)- Intensidad (K) y diversidad (H) alimentarias. (c)- Número medio de presas por estómago (Np) y peso medio de presas por estómago (Pp).